

4-러시안 알고리즘의 CUDA 구현

김영호*, 정주희*, 강대웅*, 심정섭*, 김민호**, 박수준**, 임명은**, 정호열**

*인하대학교 컴퓨터정보공학부

**한국전자통신연구원

yhkim8505@gmail.com jngjuhe@naver.com kdw8219@naver.com jssim@inha.ac.kr

kimmh@etri.re.kr psj@etri.re.kr melim@etri.re.kr hoyoul.jung@etri.re.kr

CUDA Implementation for the Four-Russian Algorithm

Young Ho Kim*, Ju-Hui Jeong*, Dae Woong Kang*, Jeong Seop Sim*,

Minho Kim**, Soo-jun Park**, Myungeun Lim**, Ho-Youl Jung**

*Dept. of Computer Science and Information Technology, Inha University

**Electronics and Telecommunications Research Institute

요 약

상수 크기의 알파벳 Σ 에 대해 길이가 각각 m , n 인 두 문자열 X 와 Y 의 편집거리는 X 를 Y 로 변환하기 위해 필요한 최소 편집연산의 수로 정의된다. 두 문자열의 편집거리는 잘 알려진 동적프로그래밍을 이용하여 $O(mn)$ 시간과 공간에 계산할 수 있으며, 4-러시안 알고리즘을 이용해도 계산할 수 있다. 4-러시안 알고리즘은 블록 크기를 상수 t 라 할 때, 전처리 단계에서 $O((3|\Sigma|)^{2t}t^2)$ 시간과 $O((3|\Sigma|)^{2t})$ 공간이 필요하며, 계산 단계에서 $O(mn/t)$ 시간과 $O(mn)$ 공간을 이용하여 편집거리를 계산하는 알고리즘이다. 본 논문에서는 4-러시안 알고리즘의 계산 단계를 CUDA를 이용하여 구현하고 실험을 통해 CPU 기반의 순차적인 수행시간과 GPU 기반의 병렬적인 수행시간의 비교결과를 제시한다. 본 논문의 병렬알고리즘은 m/t 개의 스레드를 사용하여 $O(m+n)$ 시간에 편집거리를 계산한다. GPU 기반의 알고리즘이 CPU 기반의 알고리즘 보다 $t=1$ 일 때 약 10배 빠르고, $t=2$ 일 때 약 3배 빠른 결과를 보였다.

1. 서론

문자열들의 불일치를 어느 정도 허용하는 근사문자열매칭 문제는 생물정보학, 검색엔진, 컴퓨터보안 등 많은 분야에서 활발히 연구되고 있다[1-3]. 최근에는 차세대염기서열분석(next-generation sequencing)에서 레퍼런스 매핑(reference mapping)의 비용과 시간을 줄이기 위해 빠른 근사문자열매칭 알고리즘들이 이용되고 있다[4,5]. 또한, 편집거리(edit distance)도 근사문자열매칭 알고리즘을 이용하여 계산할 수 있다.

편집거리는 두 문자열의 유사도(similarity)를 판별하는 척도로서 염기서열 분석에도 활용될 수 있다. 상수 크기의 알파벳 Σ 에 대해 길이가 각각 m , n 인 두 문자열 X 와 Y 의 편집거리는 X 를 Y 로 변환하기 위해 필요한 최소 편집연산(edit operation)의 수로 정의된다[6]. 이때 편집연산은 삽입(insertion) 연산, 삭제(deletion) 연산, 교체(change) 연산으로 구성된다. 두 문자열의 편집거리는 잘 알려진 동적프로그래밍(dynamic programming)을 이용하여 $O(mn)$ 시간과 공간에 계산할 수 있으며[7], 4-러시안 알고리즘을 이용해도 계산할 수 있다[8,9]. 4-러시안 알고리즘은 블록 크기를 상수 t 라 할 때, 전처리 단계에서 $O((3|\Sigma|)^{2t}t^2)$ 시간과 $O((3|\Sigma|)^{2t})$ 공간이 필요하며, 계산 단계에서 $O(mn/t)$ 시

간과 $O(mn)$ 공간을 이용하여 편집거리를 계산하는 알고리즘이다.

최근 GPU(graphic processing unit)의 성능이 향상되면서 문자열 관련 문제에서도 GPU를 활용하여 해결하려는 연구가 진행되고 있다. [10]에서는 CPU에서 접미사트리(suffix tree)를 생성하고 GPU에서 매칭을 구현하여 레퍼런스 매핑 속도를 향상시켰다. [11]에서는 CPU에서 접미사배열(suffix array)을 생성하고 GPU에서 매칭을 구현하여 레퍼런스 매핑 속도를 향상시켰다. [12]에서는 Aho-Corasick 오토마타를 이용한 그래프 모델을 CUDA로 생성하여 최장공통비상위문자열(longest common non-superstring) 문제를 해결하였다. [13]에서는 Smith-Waterman 알고리즘을 GPU 기반으로 구현하여 편집거리를 계산하였다.

본 논문에서는 4-러시안 알고리즘을 병렬화하고 GPU를 활용하여 구현한다. 그리고 실험을 통해 CPU 기반의 순차 알고리즘과 CUDA로 구현한 GPU 기반의 병렬알고리즘의 성능을 비교한다.

본 논문의 구성은 다음과 같다. 2장에서는 본 논문의 알고리즘을 위한 몇 가지 용어 정의와 관련 연구의 결과들을 제시한다. 3장에서는 4-러시안 알고리즘으로 편집거리를 계산하는 병렬알고리즘을 설명한다. 4장에서는 각각 CPU와 GPU로 구현한 4-러시안 알고리즘의 성능비교를 하고, 5장에서 결론과 향후 연구 방향을 제시한다.

• 이 논문은 지식경제부 및 한국산업기술평가관리원의 IT산업원천 기술개발산업의 일환으로 수행하였음.(10038768, 유전체 분석용 슈퍼컴퓨팅 시스템 개발)

• 이 논문은 2011년도 정부(교육과학기술부)의 재원으로 한국연구재단의 지원을 받아 수행된 기초연구사업(No. 2011-0027343)

2. 관련 연구

상수 크기의 알파벳 Σ 에 대한 길이가 n 인 문자열 S ($1 \leq i \leq j \leq n$)에 대해 $S[i]$ 는 i 번째 문자를 나타낸다. $S[1..i]$ 는 S 의 길이가 i 인 접두사(prefix)를 나타내고, $S[j..n]$ 는 S 의 길이가 $n-j+1$ 인 접미사(suffix)를 나타낸다. 그리고 $S[i..j]$ 는 S 의 i 번째부터 시작하고 길이가 $j-i+1$ 인 부분문자열(substring)을 나타낸다. 그리고 Σ^t 는 Σ 에 대해 길이 t 인 문자열로 정의한다.

	Δ	a	b	c	a	c	d	c	a	c
Δ	0	1	2	3	4	5	6	7	8	9
a	1			2			5			8
b	2			1			4			7
a	3	2	1	1	1	2	3	4	5	6
b	4			2			3			6
c	5			2			3			5
a	6	5	4	3	2	3	3	4	3	4

(그림 2) 4-러시안 알고리즘으로 생성한 D-테이블

2.1 D-테이블

	Δ	a	b	c	a	c	d	c	a	c
Δ	0	1	2	3	4	5	6	7	8	9
a	1	0	1	2	3	4	5	6	7	8
b	2	1	0	1	2	3	4	5	6	7
a	3	2	1	1	1	2	3	4	5	6
b	4	3	2	2	2	2	3	4	5	6
c	5	4	3	2	3	2	3	3	4	5
a	6	5	4	3	2	3	3	4	3	4

(그림 1) $X=ababca$, $Y=abcacdca$ 의 D-테이블

길이가 각각 m, n 인 두 문자열 X, Y 의 편집거리는 잘 알려진 동적프로그래밍을 이용하여 계산할 수 있다. 이때 계산된 $(m+1) \times (n+1)$ 크기의 테이블을 D-테이블이라고 하자(그림 1 참조). D-테이블의 $D[i, j]$ 는 $X[1..i]$ 와 $Y[1..j]$ 의 편집거리를 저장한다. D-테이블의 첫 번째 행과 열은 다음과 같이 초기화된다.

$$\begin{pmatrix} D[0, 0] = 0, \\ D[i, 0] = i \quad (1 \leq i \leq m), \\ D[0, j] = j \quad (1 \leq j \leq n) \end{pmatrix} \quad (1)$$

이후, 각 $D[i, j]$ 는 다음의 점화식으로 구한다.

$$D[i, j] = \min \begin{pmatrix} D[i, j-1] + 1, \\ D[i-1, j] + 1, \\ D[i-1, j-1] + \delta(X[i], Y[j]) \end{pmatrix} \quad (2)$$

만약 $X[i] = Y[j]$ 이면, $\delta(X[i], Y[j]) = 0$ 이고, $X[i] \neq Y[j]$ 이면, $\delta(X[i], Y[j]) = 1$ 이 된다. 각 $D[i, j]$ 는 식(2)를 이용하여 $O(1)$ 시간에 구할 수 있고, 테이블의 크기가 $(m+1) \times (n+1)$ 이므로 $O(mn)$ 시간에 D-테이블을 구할 수 있다. 이때 $D[m, n]$ 이 두 문자열 X, Y 의 편집거리이다. 그림 1은 $X=ababca, Y=abcacdca$ 일 때, 식 (1)과 (2)를 이용하여 생성된 D-테이블이다.

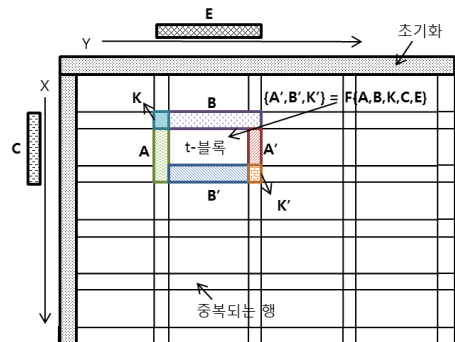
2.2 4-러시안 알고리즘

4-러시안 알고리즘의 기본 아이디어는 D-테이블을 블록 단위로 나눠서 계산하는 것이다. 크기가 $(t+1) \times (t+1)$ 인 블록을 t-블록이라 하자. 그리고 (i, j) 블록을 왼쪽 상단이 (i, j) 인 t-블록이라 하겠다. 예를 들어 그림 2를 보면, $(0,0), (0,3), (0,6), (3,0), (3,3), (3,6), (6,3), (6,6)$ 블록이 있다.

D-테이블은 임의의 행 또는 열에서 이전의 값과 차이가 최대 1이기 때문에 t-블록의 행과 열의 값을 $\{-1,0,1\}$ 로 변환한다[9]. 예를 들어 그림 2의 블록(3,3,3)의 4행 [3, 2, 3, 3]은 벡터 $[0, -1, 1, 0]$ 으로 변환될 수 있다.

각 (i, j, t) 블록은 두 벡터 A, B , 변수 K , 그리고 두 문자열 C, E 인 $\{A, B, K, C, E\}$ 에 따라 편집거리가 결정된다(그림 3 참조). A 는 각 블록의 첫 번째 열을 나타내는 벡터 $[a_0..a_p]$ ($a_p \in \{-1,0,1\}, 0 \leq p \leq t$)이고, B 는 첫 번째 행을 나타내는 벡터 $[b_0..b_q]$ ($b_q \in \{-1,0,1\}, 0 \leq q \leq t$)이다. K 는 a_0 와 b_0 에 대응되는 $D[i, j]$ 이다. C 와 E 는 각각 해당 블록에 대응하는 X 와 Y 의 부분문자열인 $X[i..i+t]$ 와 $Y[j..j+t]$ 이다. 만약 K 값이 상수 k 라면, A 와 B 를 $\{-1,0,1\}$ 의 조합으로 변환할 수 있다. 예를 들어 그림 2의 (3,3,3) 블록은 $\{A, B, K, C, E\}$ 를 다음과 같이 정의할 수 있다. $K = D[3,3] = 1, A = [0,1,0,1], B = [0,0,1,1], C = "abca",$ 그리고 $E = "caad"$. 그리고 나서 $\{A, B, K, C, E\}$ 을 입력받아 $\{A', B', K'\}$ 을 $K' = D[i+t, j+t], A' = [D[i, j+t], D[i+1, j+t], \dots, D[i+t, j+t]], B' = [D[i+t, j], D[i+t, j+1], \dots, D[i+t, j+t]]$ 으로 구한다. 여기서 A 와 B 를 $\{-1,0,1\}$ 을 원소로 갖는 벡터로 변환한 이유는 (i, j, t) 블록에서 출력한 K' 이 $(i+t, j+t, t)$ 블록의 입력 K 로 사용되기 때문에 $(i+t, j+t, t)$ 블록의 A 와 B 에 K 값을 더하면 원래 계산하려는 값을 복원할 수 있기 때문이다.

4-러시안 알고리즘은 크게 전처리 단계와 실제 계산 단계로 나눌 수 있다.



(그림 3) 전처리된 룩업테이블을 사용한 4-러시안 계산[9]

(1) 전처리 단계

전처리 단계에서는 계산 단계에서 사용할 룩업테이블 (lookup table)을 생성한다. 길이 $t+1$ 인 문자열(Σ^{t+1})과 $\{-1,0,1\}^{t+1}$ 를 원소로 갖는 벡터의 모든 조합에 대해 t -블록 편집거리를 계산한다. 그리고 나서 각 t -블록의 $\{A, B, C, E\}$ 에 대한 값을 유일한 인덱스로 하는 룩업테이블을 생성한다. 이 룩업테이블은 각 조합에 대한 t -블록의 편집거리를 계산한 마지막 행과 열에 대한 벡터 값만 저장한다. 이것은 계산 단계에서 $O(1)$ 시간에 해당 조합인 t -블록의 편집거리 정보를 찾을 수 있다.

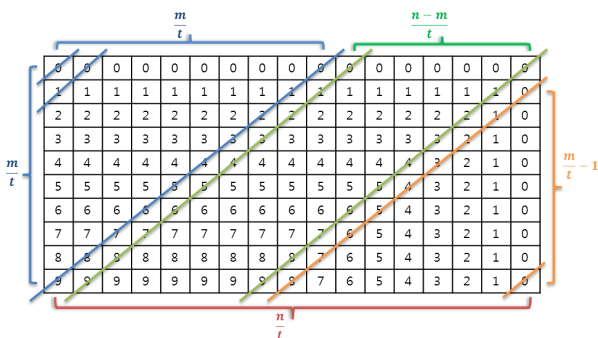
$\{-1,0,1\}^{t+1}$ 에 대한 모든 조합을 구하기 위해서는 3^{t+1} 개의 조합이 필요하다. 그리고 Σ^{t+1} 에 대한 모든 조합을 구하기 위해서는 $|\Sigma|^{t+1}$ 개의 조합이 필요하다. 그러므로 모든 조합의 t -블록을 전처리하는데 $O((3|\Sigma|)^{2t})$ 의 시간이 필요하다. 룩업테이블은 마지막 행과 열만 저장하기 때문에 $O((3|\Sigma|)^{2t})$ 의 공간이 필요하다.

(2) 계산 단계

실제 계산을 하기 전에 D -테이블의 첫 번째 행과 열은 초기화 되어야 한다. 이는 식(1)의 D -테이블을 초기화하는 과정과 같다.

계산 단계에서는 해당 블록의 $\{A, B, K, C, E\}$ 에 대해 전처리 단계에서 구한 룩업테이블을 이용하여 $\{A', B', K'\}$ 를 구한다. 룩업테이블에서 해당 조합의 정보를 찾는데 $O(1)$ 시간이 필요하고, 변환된 $\{A', B', K'\}$ 값을 복원하기 위해서 $O(t)$ 시간이 필요하다. $\{A', B', K'\}$ 는 인접한 블록을 구하기 위해 다시 입력으로 사용된다(그림 3 참조). 그러므로 D -테이블 전체의 편집거리를 구하기 위해서는 $O(mn/t)$ 시간이 필요하다. 만약 $t = \Theta(\log m)$ 이면, 4-러시안 알고리즘은 $O(mn/\log m)$ 시간에 수행된다.

3. 4-러시안 알고리즘의 CUDA 구현



(그림 4) 4-러시안 병렬알고리즘을 이용한 D -테이블 계산

본 논문에 제시된 알고리즘은 4-러시안 알고리즘의 계산 단계를 CUDA를 이용하여 병렬적으로 계산한다. 병렬알고리즘을 설명하기에 앞서 그림 4의 D -테이블의 각 셀을 t -블록으로 가정하자. 4-러시안 병렬알고리즘은 한 회 당 대각선

에 있는 t -블록들을 병렬적으로 계산한다. 한 회 당 최대 m/t 개의 스레드를 사용하여 대각선에 있는 t -블록마다 하나의 스레드를 할당하면, 각 t -블록에 스레드 번호를 매길 수 있다. 그림 4에서 대각선에 있는 각 셀은 한 회에 병렬적으로 계산되는 t -블록들을 보여주고, 각 t -블록에 있는 번호는 스레드 번호를 의미한다.

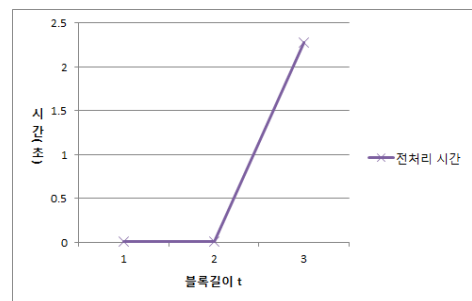
병렬알고리즘은 총 3 부분으로 설명할 수 있다. 첫 번째 부분(그림 4의 파란색 대각선이 있는 부분)은 각 회당 스레드 개수가 1씩 증가하고, m/t 회 수행한다. 두 번째 부분(녹색 대각선이 있는 부분)은 m/t 개의 스레드를 가지고 $(n-m)/t$ 회 수행한다. 마지막 부분(주황색 대각선이 있는 부분)은 스레드 개수가 1씩 감소하고, $(m/t) - 1$ 회 수행한다. 그러면 총 $O((m+n)/t)$ 회 수행하게 된다. 각 t -블록 당 룩업테이블에서 A' 과 B' 을 읽어오는데 $O(t)$ 시간이 필요하므로 4-러시안 병렬알고리즘의 시간복잡도는 $O(m+n)$ 이 된다.

4. 실험 결과 및 분석

실험 환경은 다음과 같다. CPU는 Intel Core i7 970, RAM은 6GB, GPU는 NVIDIA tesla c2070, 그리고 OS는 Linux Fedora(64bit)를 사용하였다.

$\Sigma = \{A, C, G, T\}$ 로 고정하고, 시간 함수는 [4]에서 제공하는 SOAP2 프로그램의 함수를 이용하였다. 그리고 실험은 전처리 단계와 계산 단계로 구분하여 실험하였다. 전처리 단계는 t 에 대해 룩업테이블을 생성하는 수행시간을 실험하였고, 계산 단계는 두 문자열의 길이를 1,000부터 10,000까지 1,000씩 증가시키면서 4-러시안 알고리즘으로 D -테이블을 생성하는 시간을 실험하였다. 그리고 CPU 코드와 GPU 코드의 수행시간을 비교하였다. GPU로 구현한 4-러시안의 수행시간은 CUDA의 특성상 호스트 메모리(main memory)와 디바이스 메모리(GPU memory) 사이의 데이터를 복사하는 cudaMemcpy() 함수의 수행시간을 포함하였다. 앞으로 GPU 기반의 4-러시안 프로그램을 G4R이라 하고, CPU 기반의 4-러시안 프로그램을 C4R이라 하겠다.

4.1 전처리 단계의 수행 결과



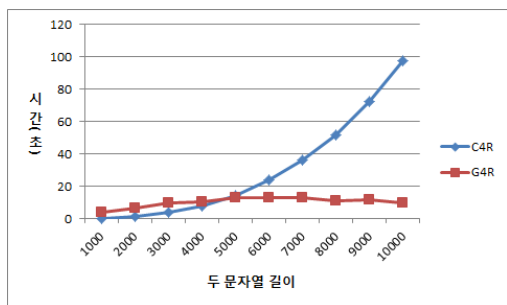
(그림 5) 블록길이에 따른 수행시간

그림 5는 블록의 길이 t 가 1에서 3일 때, 전처리 단계의 수행시간이다. 시간복잡도인 $O((3|\Sigma|)^{2t})$ 에서 알 수 있듯이 t 의 크기에 따라 급격하게 수행시간이 증가한다. $t = 4$ 일 때

는 공간복잡도인 $O((3|\Sigma|)^{2t})$ 에서 알 수 있듯이 메모리 부족으로 메모리 스왑이 20GB 가까이 일어나고, 오랜 수행시간으로 실험이 불가능했다.

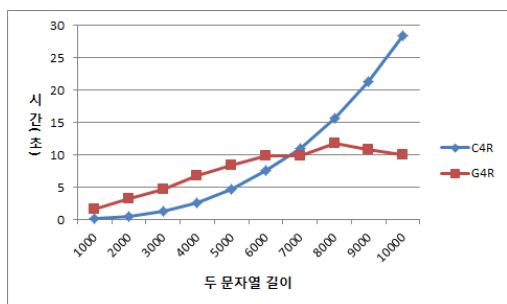
4.2 계산 단계의 수행 결과

계산 단계에서 C4R와 G4R의 성능비교는 GPU 메모리 문제로 t 를 2까지 실험하였다.



(그림 6) C4R과 G4R의 성능 비교
($t = 1, 1,000 \leq m, n \leq 10,000$)

그림 6은 $t=1$ 일 때, 두 문자열의 길이를 동일하게 증가시키면서 실험한 결과이다. C4R는 수행시간이 선형적으로 증가하는 것을 보이는 반면 G4R는 거의 일정한 수행시간을 보였다. 두 문자열의 길이가 각각 10,000 일 때, G4R의 수행시간은 약 9.78초이고, C4R는 약 97.42초로 약 10배 빠른 실험결과를 보였다.



(그림 7) C4R과 G4R의 성능 비교
($t = 2, 1,000 \leq m, n \leq 10,000$)

그림 7은 $t=2$ 이고, 나머지 입력은 그림 6과 동일하게 실험하였다. 그림 6과 비교하면 G4R의 수행시간은 거의 동일하였지만, C4R의 성능이 약 3배 증가하였다. 그래도 여전히 입력 크기에 따라 C4R의 수행시간은 선형적으로 증가하였고, G4R의 수행시간은 거의 일정하였다. 두 문자열의 길이가 각각 10,000일 때, G4R은 약 9.98초의 수행시간을 가졌고, C4R은 약 28.39초의 수행시간을 가졌다. 즉, G4R이 C4R보다 약 3배 빠른 결과를 보였다.

5. 결론

본 논문에서는 4-러시안 알고리즘을 병렬화하여 CUDA로 구현하였다. 4-러시안 알고리즘 특성상, 블록 길이에 따라 기하급수적인 시간 및 공간이 필요하기 때문에 다양한 블록 길이에 대해 실험하지 못했다. 그러나 작은 t 에 대해 G4R은

좋은 수행속도를 가진다. 이론상으로도 m/t 개의 스레드를 사용했을 때, 계산 단계의 시간복잡도가 $O(mn/t)$ 에서 $O(m+n)$ 으로 향상되는 것을 보였다. 앞으로 GPU의 메모리가 커지고 코어 개수가 더 늘어나면, 전처리 단계도 GPU를 이용해 병렬적으로 처리할 수 있을 것이다.

참고문헌

- [1] A. V. Aho and M. J. Corasick, "Efficient String Matching: An Aid to Bibliographic Search", Communications of the ACM, vol.18, no.6, 1975.
- [2] S. Forrest, A. S. Perelson, L. Allen, and R. Cherukuri, "Self-nonsel self discrimination in a computer", in Proc.IEEE Symp. Res. Security Privacy, pp.202-212, 1994.
- [3] T. F. Smith and M. S. Waterman, "Identification of Common Molecular Subsequences", J. Mol. Biol. 147, pp.195-197, 1981.
- [4] R. Li, C. Yu, Y. Li, T. W. Lam, S. M. Yui, K. Kristiansen and J. Wang, "SOAP2: an improved ultrafast tool for short read alignment" bioinformatics, vol.25, no.15, pp.1966-1967, 2009.
- [5] S. Bao, R. Jiang, W. K. Kwan, B. B. Wang, X. Ma and Y. Q. Song, "Evaluation of next-generation sequencing software in mapping and assembly", Journal of Human Genetics, vol.56, pp.406-414, 2011.
- [6] D. Gusfield, Algorithms on Strings, Trees, and Sequences, Cambridge university press, 1997.
- [7] V. I. Levenshtein, Binary codes capable of correcting deletions, insertions, and reversals, Sov. Phys. Dokl., vol.10, pp.707-710, 1966.
- [8] W. J. Masek and M. S. Paterson, "A Faster Algorithm Computing String Edit Distance", Journal of computer and system science, vol.20, no.1, pp.18-31, 1980.
- [9] V. Kundeti and S. Rajasekaran, "Extending the Four Russian Algorithm to Compute the Edit Script in Linear Space" ICCS 2008, pp.893-902, 2008.
- [10] C. Trapnell and M. C. Schatz, "Optimizing data intensive GPGPU computations for DNA sequence alignment", Parallel Computing, vol.35, no.8-9, pp.429-440, 2009.
- [11] A. Gharai beh and M. Ripeanu. "Size Matters: Space/Time Tradeoffs to Improve GPGPU Applications Performance", In IEEE/ACM Supercomputing (SC 2010), 2010.
- [12] 윤현철, 심정섭, "최장공통비상위문자열 그래프 모델의 CUDA 기반 구현", 한국정보과학회 학술발표논문집, vol.38, no.2, 2011.
- [13] L. Ligowski, W. Rudnicki, "An efficient implementation of Smith Waterman algorithm on GPU using CUDA, for massively parallel scanning of sequence databases", in Parallel & Distributed Processing (IPDPS). IEEE Int. Symp., pp.1-8, 2009.